

# Umjeravanje kamere ravninskim uzorkom

## *Uvod u egzaktnu 3D interpretaciju slika*

Siniša Šegvić

Zavod za elektroniku, mikroelektroniku, računalne i inteligentne sustave

Fakultet elektrotehnike i računarstva

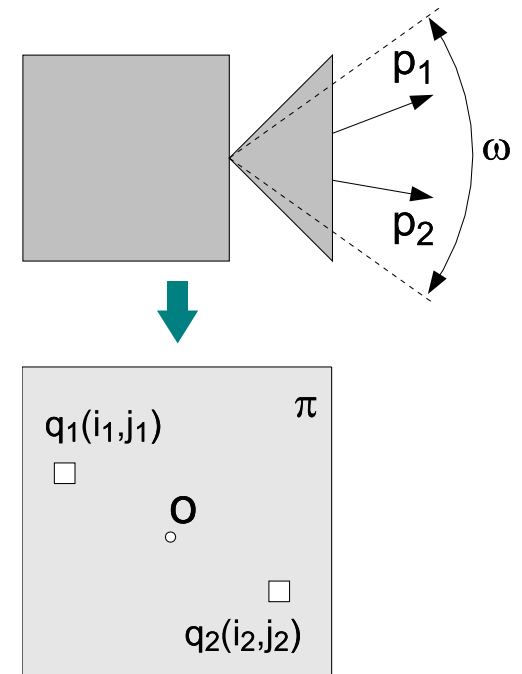
Sveučilište u Zagrebu

# Sadržaj

- Uvod
- Pretpostavljeni modeli i matematički alati
- Pregled literature
  - metode koje podrazumijevaju mjerni uzorak (etalon)
  - metode bez mjernih uzoraka
- Umjeravanje kamere ravninskim uzorkom
- Rezultati
- Primjene
  - korekcija radijalne distorzije
  - određivanje vanjskih parametara skupa kamera
  - umjeravanje postolja s dva stupnja slobode
  - geometrija sustava za stereo vid

# Uvod (kamera kao crna kutija)

- Stvaranje slike je **preslikavanje**  $f : \mathbb{R}^3 \rightarrow \mathbb{R}^2$   
 $\mathcal{D}(f)$  - Euklidski 3D prostor  $\mathbb{R}^3$ ,  $\mathcal{K}(f)$  - slikovna ravnina  $\pi$
- Zbog pravocrtnog širenja svjetlosti:  
 $\forall y \in \pi \exists p \in \mathcal{P} : f(x) = y, \forall x \in p$   
 $\mathcal{P}$  - skup pravaca iz  $\mathcal{D}(f)$ 
  - $p \in \mathcal{P}$  definira zraku koja podražava odgovarajući senzorski element
- Problem umjeravanja (kalibracije):
  - **inverzno** preslikavanje  $\kappa : \pi \rightarrow \mathcal{P}$  ?
  - omogućava određivanje **kvantitativnih** odnosa u sceni
  - tolerancija je svojstvo postupka (može se ocijeniti)



$\mathcal{P}$  ... skup pravaca scene

$p_1, p_2 \in \mathcal{P}; q_1, q_2 \in \pi;$

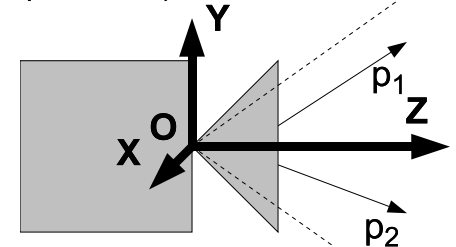
kalibracija  $\equiv \kappa : \pi \rightarrow \mathcal{P}$

$\kappa(q_1) = p_1; \kappa(q_2) = p_2$

# Konteksti umjeravanja kamere

- Umjeravanje **intrinzičnih** (unutrašnjih) parametara:
  - pravci scene se opisuju u svojstvenom k.s. kamere
  - dobiveno preslikavanje ne ovisi o položaju kamere u odnosu na scenu, svojstveno je kameri
- Umjeravanje **vanjskih** parametara:
  - definiraju položaj kamere u referentnom k.s. scene (Euklidska transformacija, šest stupnjeva slobode)
  - korisni kod određivanja 3D položaja značajki čiji je položaj ograničen poznatom ravninom
  - korisni kod uparivanja interpretacija više kamera

O - presjecište rubova vidnog polja (rvp)  
Z - simetrala rvp  
X,Y - paralelni sa odgovarajućim rvp  
(O,X,Y,Z) - k.s. kamere



$\rho$  ... pravci u (O,X,Y,Z)  
kalibracija  $\equiv \kappa: \pi \rightarrow \rho$

# Projekcijska geometrija

- Iznimno bitna u računarskom vidu jer omogućava **linearan** opis stvaranja slike i transformacija među koordinatnim sustavima
- Homogene koordinate točke projekcijskog prostora:

$$\mathbf{x} = \begin{bmatrix} x_1, x_2, \dots, x_{n+1} \end{bmatrix}^T \in \mathbb{P}^n$$
$$\mathbf{x} \sim \mathbf{y} \iff \mathbf{x} = \lambda \cdot \mathbf{y} \quad (1)$$

- Projekcija je linearna transformacija  $\mathbb{P}^m \rightarrow \mathbb{P}^n$ : može se opisati matricom  $\mathbf{P}_{m+1 \times n+1}$  (vrijedi  $\mathbf{P} \sim \lambda \cdot \mathbf{P}$ ); projekcija  $\mathbb{P}^2 \rightarrow \mathbb{P}^2$  (matrica  $\mathbf{H}_{3 \times 3}$ ) — **homografija**
- Projekcijske invarijante: kolinearnost, križni omjer (udaljenosti, kutovi i paralelizam — **ne**)

# Odnos projekcijskog i Euklidskog prostora

- Izomorfno preslikavanje  $\mathbb{R}^n \rightarrow \mathbb{P}^n$ :

$$\begin{bmatrix} x_1 & x_2 & \dots & x_n \end{bmatrix}^T \mapsto \begin{bmatrix} x_1 & x_2 & \dots & x_n & 1 \end{bmatrix}^T \quad (2)$$

- Za sve  $y \in \mathbb{P}^n : y_{n+1} \neq 0$  vrijedi obratno preslikavanje:

$$\begin{bmatrix} y_1 & y_2 & \dots & y_{n+1} \end{bmatrix}^T \mapsto \begin{bmatrix} \frac{y_1}{y_{n+1}} & \frac{y_2}{y_{n+1}} & \dots & \frac{y_n}{y_{n+1}} \end{bmatrix}^T \quad (3)$$

- $y \in \mathbb{P}^n : y_{n+1} = 0$  se nazivaju točke u beskonačnosti i nemaju prikaz u  $\mathbb{R}^n$ ; skup svih takvih točaka čini tzv. pravac u beskonačnosti

# Elementi projekcijske ravnine

| objekt      | prikaz   | jednadžba                                | transformacija                               |
|-------------|--|--|--|
| točka       | $\mathbf{q} = \begin{bmatrix} x & y & t \end{bmatrix}^T$ |  | $\mathbf{H}\mathbf{q}$                       |
| pravac      | $\mathbf{l} = \begin{bmatrix} a & b & c \end{bmatrix}^T$ | $\mathbf{l}^T \mathbf{q} = 0$            | $\mathbf{H}^{-T} \mathbf{l}$                 |
| kr. 2. reda | $\mathbf{C}_{3 \times 3} = \mathbf{C}_{3 \times 3}^T$    | $\mathbf{q}^T \mathbf{C} \mathbf{q} = 0$ | $\mathbf{H}^{-T} \mathbf{C} \mathbf{H}^{-1}$ |

● Malo više o krivuljama 2. reda:

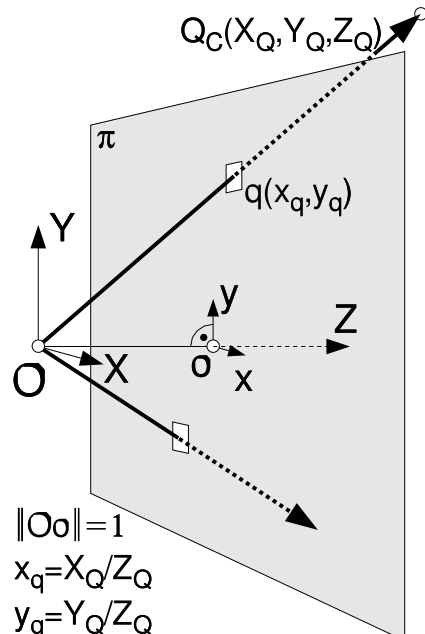
● neka je:  $\mathbf{q} = \begin{bmatrix} x & y & 1 \end{bmatrix}$ ,  $\mathbf{C} = \begin{bmatrix} a & b & c \\ b & d & e \\ c & e & f \end{bmatrix}$

● tada vrijedi:

$$\mathbf{q}^T \mathbf{C} \mathbf{q} = f + 2cx + ax^2 + 2ey + 2bxy + dy^2 \quad (4)$$

# Perspektivni model kamere (1)

- **Idealna kamera**  $\stackrel{\text{def.}}{=}$  kamera koja daje **neizobličene** slike (bridovi scene  $\mapsto$  dužine u slici, ...)
- Takvo stvaranje slike opisuje **perspektivna projekcija**:



$$\lambda \cdot \begin{bmatrix} x_{\hat{q}} \\ y_{\hat{q}} \\ 1 \end{bmatrix} = \begin{bmatrix} 1 & 0 & 0 & 0 \\ 0 & 1 & 0 & 0 \\ 0 & 0 & 1 & 0 \end{bmatrix} \cdot \begin{bmatrix} X_Q \\ Y_Q \\ Z_Q \\ 1 \end{bmatrix} \quad (5)$$

ili, kraće:

$$\hat{q} = S \cdot Q_C \quad (6)$$

$\hat{q} \in$  **normalizirani k.s. slike**  $(o, \hat{x}, \hat{y})$ ,  $Q_C \in$  k.s. kamere  $(O, X, Y, Z)$



# Perspektivni model kamere (2)

- Linearno proširenje modela (5) uvodi pet parametara:

$$\lambda \cdot \begin{bmatrix} x_q \\ y_q \\ 1 \end{bmatrix} = \begin{bmatrix} s_x & s_\theta & t_x \\ 0 & s_y & t_y \\ 0 & 0 & 1 \end{bmatrix} \cdot \begin{bmatrix} x_{\hat{q}} \\ y_{\hat{q}} \\ 1 \end{bmatrix} \quad (7)$$

ili, kraće:

$$\mathbf{q} = \mathbf{K} \cdot \hat{\mathbf{q}} \quad (8)$$

- $s_x, s_y \dots$  dimenzije senzorskih elemenata ( $s_x \approx s_y$ )  
 $par = \frac{s_y}{s_x}$ ;  $\phi_{hfov} = 2 \cdot arctg(\frac{w/2}{s_x})$ , za sliku  $w \times h$
- $t_x, t_y \dots$  pomak k.s. slike
- $s_\theta = \tan(\theta)/s_x \dots$  kut među osima k.s. slike ( $s_\theta \approx 0$ )
- **Ostali intrinzični parametri** opisuju nelinearne korekcije!

# Homogene koordinate i vanjski parametri (1)

- Kao i ranije, homogene koordinate omogućuju linearne prijelaze među koordinatnim sustavima:

$$\lambda \cdot \begin{bmatrix} X_Q \\ Y_Q \\ Z_Q \\ 1 \end{bmatrix} = \begin{bmatrix} \mathbf{R}_{3x3} & -\mathbf{R}_{3x3}\mathbf{t}_{3x1} \\ 0_{1x3} & 1 \end{bmatrix} \cdot \begin{bmatrix} L_Q \\ M_Q \\ N_Q \\ 1 \end{bmatrix} \quad (9)$$

ili, kraće:

$$\mathbf{Q}_C = \mathbf{M} \cdot \mathbf{Q}_W \quad (10)$$

$\mathbf{Q}_C \in$  k.s. kamere ( $O, X, Y, Z$ ),

$\mathbf{R}$  - rotacija k.s. kamere oko osi k.s. svijeta,

$\mathbf{t}$  - translacija k.s. kamere u k.s. svijeta,

$\mathbf{Q}_W \in$  k.s. svijeta ( $O_W, L, M, N$ )

# Homogene koordinate i vanjski parametri (2)

- VP: položaj kamere u k.s. svijeta (translacija+rotacija)
- Parametrizacija rotacijske matrice (nagib,zakret,okret):

$$\mathbf{R} = \mathbf{R}_z(\gamma) \cdot \mathbf{R}_y(\beta) \cdot \mathbf{R}_x(\alpha) \quad (11)$$

$$\mathbf{R} = \begin{bmatrix} \cos(\beta) \cos(\gamma) & \cos(\gamma) \sin(\alpha) \sin(\beta) - \cos(\alpha) \sin(\gamma) & \cos(\alpha) \cos(\gamma) \sin(\beta) + \sin(\alpha) \sin(\gamma) \\ \cos(\beta) \sin(\gamma) & \cos(\alpha) \cos(\gamma) + \sin(\alpha) \sin(\beta) \sin(\gamma) & \cos(\gamma) \sin(\alpha) + \cos(\alpha) \sin(\beta) \sin(\gamma) \\ -\sin(\beta) & \cos(\beta) \sin(\alpha) & \cos(\alpha) \cos(\beta) \end{bmatrix}$$

Parametrizacija nije jedinstvena: zadanu matricu opisuju najmanje dvije trojke  $(\alpha, \beta, \gamma)$ !

- Inverzni parametri (položaj k.s. svijeta u k.s. kamere):

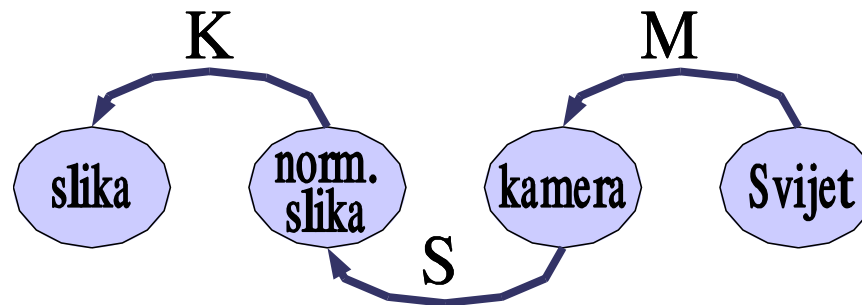
$$\mathbf{M}_i = \mathbf{M}^{-1} = \begin{bmatrix} \mathbf{R}_{i3x3} & -\mathbf{R}_{i3x3} \mathbf{t}_{i3x1} \\ 0_{1x3} & 1 \end{bmatrix} \quad (12)$$

$$\mathbf{R}_i = \mathbf{R}^{-1} = \mathbf{R}^T, \quad \mathbf{t}_i = \mathbf{R}^{-1} \cdot \mathbf{t} \quad (13)$$

# Perspektivni model, sažetak

- Pretpostavke: “oštra” slika i idealna (“tanka”) leća
- Kalibracija intrinzičnih parametara svakom slikovnom elementu pridružuje pravac kroz žarište
- Kalibracija ekstrinzičnih parametara određuje kako te pravce interpretirati u nekom vanjskom k.s.
- Ukupna transformacija:

$$q = K \cdot S \cdot M \cdot Q_W = P_{4 \times 3} \cdot Q_W \quad (14)$$



# Model radijalne distorzije

- Stvarne kamere dobro aproksimiraju projekciju, ali izobličenja postoje:
  - neravnomjerni efektivni presjek leće,  $S_{\text{eff}} = S \cdot \cos(\varphi)$
  - **radijalna** i tangencijalna distorzija
  - kromatska aberacija
- Model distorzije i korekcije:

$$\hat{x}_d = f_{ud}(\hat{x}_u)$$

$$\hat{x}_u = f_{du}(\hat{x}_d)$$

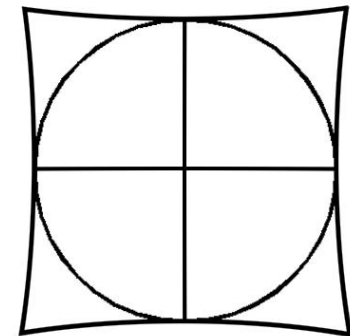
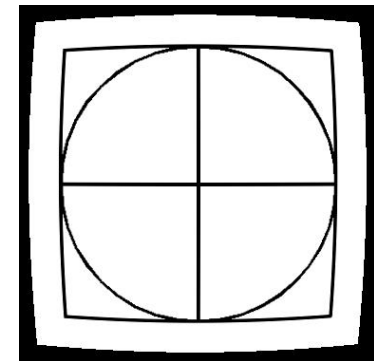
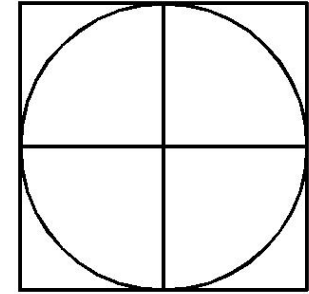
$$f_{ab}(\hat{x}_a) = \hat{x}_a \cdot (1 + k_1^{ab} \cdot \hat{r}_a^2 + k_2^{ab} \cdot \hat{r}_a^4)$$

$$\hat{r}_a^2 = \hat{x}_a^2 + \hat{y}_a^2 \quad (15)$$

# Model radijalne distorzije

- Stvarne kamere dobro aproksimiraju projekciju, ali izobličenja postoje:
  - neravnomjerni efektivni presjek leće,  $S_{\text{eff}} = S \cdot \cos(\varphi)$
  - **radijalna** i tangencijalna distorzija
  - kromatska aberacija
- Model distorzije i korekcije:

$$\begin{aligned}\hat{x}_d &= f_{ud}(\hat{x}_u) \\ \hat{x}_u &= f_{du}(\hat{x}_d) \\ f_{ab}(\hat{x}_a) &= \hat{x}_a \cdot (1 + k_1^{ab} \cdot \hat{r}_a^2 + k_2^{ab} \cdot \hat{r}_a^4) \\ \hat{r}_a^2 &= \hat{x}_a^2 + \hat{y}_a^2\end{aligned}\quad (15)$$



# Alati linearne algebre

- Dekompozicije matrica
- Rješavanje linearnih sustava sa viškom ograničenja
- Dotjerivanje rotacijske matrice

# Dekompozicija po Choleskom

- Neka je zadana simetrična pozitivno definitna matrica  $A$
- Rezultat dekompozicije je gornja trokutasta matrica  $U$ :  
$$A = U^T \cdot U$$
- Općenito, isplati je se koristiti kad je to moguće jer je dvostruko brža od LU dekompozicije



# Dekompozicija Q-R

- Za proizvoljnu kvadratnu matricu  $A$ , rezultat dekompozicije su:
  - gornja trokutasta matrica  $R$
  - ortogonalna matrica  $Q$  (vrijedi  $Q^T \cdot Q = I$ )
- Vrijedi:  $A = Q \cdot R$
- Ne koristi se često, jer je dvostruko sporija od LU dekompozicije

# Dekompozicija projekcijske matrice

- Množenjem  $S$  i  $M$  u (14), dobiva se:

$$\lambda \cdot \mathbf{P} = \mathbf{K} \cdot \mathbf{S} \cdot \mathbf{M} = \mathbf{K} \cdot \begin{bmatrix} \mathbf{R} & -\mathbf{R} \cdot \mathbf{t} \end{bmatrix} \quad (15)$$

- Označimo lijevu kvadratnu podmatricu od  $\mathbf{P}$  sa  $\mathbf{P}_3$ ; tada vrijedi ( $\mathbf{P}_{:,i}$  označava  $i$ -ti stupac od  $\mathbf{P}$ ):

$$\mathbf{P}_3 = \begin{bmatrix} \mathbf{P}_{:,1} & \mathbf{P}_{:,2} & \mathbf{P}_{:,3} \end{bmatrix} = \frac{1}{\lambda} \mathbf{K} \cdot \mathbf{R} \quad (16)$$

- **Zaključak:**  
iz projekcijske matrice (dobivene umjeravanjem) upotrebom QR dekompozicije moguće je izvući i intrinzične i vanjske parametre nepoznate kamere!

# Singularna dekompozicija

- Za proizvoljnu matricu  $\mathbf{A}_{m \times n}$  (ne mora biti kvadratna), rezultat dekompozicije su:
  - matrica sa ortogonalnim stupcima  $\mathbf{U}_{m \times n}$
  - dijagonalna pozitivno semidefinitna matrica  $\mathbf{D}_{n \times n}$
  - ortogonalna matrica  $\mathbf{V}_{n \times n}$
- Vrijedi:
  - $\mathbf{A} = \mathbf{U} \cdot \mathbf{D} \cdot \mathbf{V}^T$
  - $\mathbf{D}_{i,i}$  - drugi korijen  $i$ -te svojstvene vrijednosti od  $\mathbf{A}^T \mathbf{A}$   
( $\mathbf{D}_{i,i} \in \mathbb{R}, \mathbf{D}_{i,i} \geq 0$ )
  - $\mathbf{V}_{:,i}$  -  $i$ -ti svojstveni vektor od  $\mathbf{A}^T \mathbf{A}$
  - $\|\mathbf{U}\mathbf{x}\| = (\mathbf{U}\mathbf{x})^T (\mathbf{U}\mathbf{x}) = \mathbf{x}^T \mathbf{U}^T \mathbf{U} \mathbf{x} = \mathbf{x}^T (\mathbf{U}^T \mathbf{U}) \mathbf{x} = \|\mathbf{x}\|$   
( $\mathbf{U}$  čuva normu!)

# Linearni sustav sa viškom ograničenja (1)

- Neka je zadan linearni sustav sa viškom ograničenja (*engl.* overconstrained)

$$\mathbf{A}_{m \times n} \cdot \mathbf{x}_n = 0 \quad (17)$$

- Neka nas zanima netrivialno rješenje sustava, u smislu minimalne kvadratne pogreške:

$$\min_x \|\mathbf{A}\mathbf{x}\|, \text{ uz } \|\mathbf{x}\| = 1 \quad (18)$$

- Rješenje je definirano **do na konstantu**, te odgovara svojstvenom vektoru matrice  $A^T A$  koji odgovara njenoj apsolutno najmanjoj svojstvenoj vrijednosti!

# Linearni sustav sa viškom ograničenja (2)

## Dokaz:

- Neka je  $A = UDV^T$ ; tada tražimo  $\mathbf{x}$  koji zadovoljava:

$$\min_x \|\mathbf{UDV}^T \mathbf{x}\| = \min_x \|\mathbf{DV}^T \mathbf{x}\|, \text{ uz } \|\mathbf{x}\| = 1 \quad (19)$$

- Neka je  $\mathbf{q} = \mathbf{V}^T \mathbf{x}$ ; tada vrijedi:

$$\|\mathbf{UDV}^T \mathbf{x}\| = \|\mathbf{Dq}\|, \text{ uz } \|\mathbf{q}\| = 1 \quad (20)$$

- Elementi  $\mathbf{D}$  su pozitivni i padajući, pa  $\mathbf{q}$  koji minimizira

$$(20) \text{ iznosi } \mathbf{q} = \begin{bmatrix} 0 & 0 & \dots & 1 \end{bmatrix}^T$$

- Odatle slijedi ono što je trebalo dokazati:

$$\mathbf{x} = \mathbf{Vq} = \mathbf{V}_{:,n} \quad (21)$$

# Dotjerivanje rotacijske matrice (1)

- Rotacijska matrica  $\mathbf{Q}$  koja se numerički dobiva sigurno nije ortogonalna kakva bi u idealnom slučaju trebala biti
- $\mathbf{Q}$  nadomještamo matricom  $\mathbf{R}$  koja zadovoljava:

$$\min_R \|\mathbf{R} - \mathbf{Q}\|_F^2, \text{ uz } \|\mathbf{R}^T \mathbf{R}\| = \mathbf{I} \quad (22)$$

Vrijedi:

$$\begin{aligned} \sum_i \sum_j (r_{ij} - q_{ij})^2 &= \sum_i \sum_j r_{ij}^2 - 2r_{ij}q_{ij} + q_{ij}^2 = \\ &= \sum_i \sum_j r_{ij}^2 + \sum_i \sum_j q_{ij}^2 - 2 \sum_i \sum_j r_{ij}q_{ij} = \\ &= k_1 - k_2 \sum_i \sum_j r_{ij}q_{ij} = k_1 - k_2 \text{tr}(\mathbf{R}^T \mathbf{Q}) \quad (23) \end{aligned}$$

# Dotjerivanje rotacijske matrice (2)

- Uz singularnu dekompoziciju  $\mathbf{Q}$ , iz (23) slijedi:

$$\begin{aligned} \min_R \|\mathbf{R} - \mathbf{Q}\|_F^2 &= \dagger \max_R \text{tr}(\mathbf{R}^T \mathbf{Q}) = \\ &= \max_R \text{tr}(\mathbf{R}^T \mathbf{U} \mathbf{D} \mathbf{V}^T) = \dagger \max_R \text{tr}(\mathbf{V} \mathbf{R}^T \mathbf{U} \mathbf{D}) \end{aligned} \quad (24)$$

- Uvedimo  $\mathbf{Z} = \mathbf{V} \mathbf{R}^T \mathbf{U}$  ( $\mathbf{Z}^T \mathbf{Z} = \mathbf{I}$ ):

$$\text{tr}(\mathbf{Z} \mathbf{D}) = \sum_i z_{ii} d_{ii} \leq \sum_i d_{ii} \quad (25)$$

- $\mathbf{Z}$  koji maksimizira (25) iznosi  $\mathbf{I}$ , pa je rješenje (24):

$$\mathbf{R} = \dagger \mathbf{U} \mathbf{V}^T \quad (26)$$

# Pregled literature

- Metode koje podrazumijevaju mjerni uzorak (etalon)
  - 3D mjerni uzorak (najčešće jedan pogled)
  - 2D mjerni uzorak (jedan ili više pogleda)
  - odabir značajki mjernog uzorka?
- Metode bez mjernih uzoraka
  - poznate kao “samoumjeravanje” kamere (*engl.* self-calibration, auto-calibration)
  - Nepomična scena, pokretna kamera: zaključuje se na temelju uparivanja točaka pojedinih slika sljeda (generalizirani problem stereo vida)
  - kretanje kamere može biti poznato ili **ne!**



# 3D uzorak, linearno rješenje (1)

Uparujemo točke mjernog uzorka sa odgovarajućim projekcijama  $Q_i \mapsto q_i$ ; tražimo  $P : \forall i P \cdot Q_i = \lambda \cdot q_i$ :

$$P \cdot Q = \lambda \cdot q \iff q \times (P \cdot Q) = 0 \quad (27)$$

$$\begin{aligned} q \times (PQ) &= \begin{bmatrix} x_q \\ y_q \\ 1 \end{bmatrix} \times \begin{bmatrix} P_1 Q \\ P_2 Q \\ P_3 Q \end{bmatrix} = \begin{bmatrix} y_q \cdot P_3 Q - 1 \cdot P_2 Q \\ 1 \cdot P_1 Q - x_q \cdot P_3 Q \\ x_q \cdot P_2 Q - y_q \cdot P_1 Q \end{bmatrix} \\ &= \begin{bmatrix} \mathbf{0}_3^T & -Q^T & y_q Q^T \\ Q^T & \mathbf{0}_3^T & -x_q Q^T \\ -y_q Q^T & x_q Q^T & \mathbf{0}_3^T \end{bmatrix} \cdot \begin{bmatrix} P_1^T \\ P_2^T \\ P_3^T \end{bmatrix} = \mathbf{0}_{12} \end{aligned} \quad (28)$$

# 3D uzorak, linearno rješenje (2)

- Za svaku točku uzorka dobivamo dvije nezavisne jednačbe!
- Slaganjem jednačbi za  $n$  uparenih točaka, dobivamo matricu homogenog linearnog sustava  $A_{2n \times 12} \cdot \mathbf{p} = \mathbf{0}_{12}$
- Za dobivanje linearnog rješenja potrebno je bar 6 točaka, u praksi je potrebno koristiti više (npr. 100)!
- Rješenje sustava (u smislu MKP) se dobiva poznatim metodama, a omogućava rekonstrukciju matrice  $P_{3 \times 4}$
- Ovakvim pristupom ne možemo pronaći parametre nelinearnih izobličenja!

# Nelinearna optimizacija (1)

- Linearno rješenje minimizira rezidual sustava  $A\mathbf{p} = \mathbf{0}_{12}$ , odnosno kvadratno odstupanje zadanih ograničenja po elementima projekcijske matrice
- To ne zadovoljava dva kriterija:
  - treba minimizirati **projekcijsku** pogrešku

$$\epsilon_p = \sum_i \|\mathbf{P} \cdot \mathbf{Q}_i - \mathbf{q}_i\|_{\mathbb{R}^2} \quad (29)$$

- treba odrediti parametre nelinearnih izobličenja
- Zato se linearno rješenje koristi kao početna procjena za gradijentni optimizacijski postupak, uz funkciju cilja  $\epsilon_p$

# Nelinearna optimizacija (2)

- Tipično, koristi se Levenberg-Marquardov optimizacijski postupak implementiran u bibliotekama `minpack` (Fortran) odnosno `cephes` (C) koje su dostupne na <http://www.netlib.org>
- Varijable koje postupak optimira su:
  - linearni intrinzični parametri kamere (K)
  - intrinzični parametri nelinearnih izobličenja
  - parametri Euklidske transformacije (M)
- Literatura: [Tsai87], [Heikkila00], [Spies03]

# Upotreba ravninskog mjernog uzorka

- Prednost: **jednostavnija** (jeftinija) izrada (laserski pisač!)
- Nedostatak: zbog linearne zavisnosti točkaka uzorka, nije moguće odrediti linearno rješenje za sve elemente projekcijske matrice na temelju samo **jednog pogleda**!
- Mogućnosti dobivanja početne procjene kalibracijskih parametara:
  - analitičkim metodama (linearno rješenje)
    - pojednostavniti matricu intrinzičnih parametara  $K$ , tako da:  $s_x = s_y = f$ , i  $s_\theta = t_x = t_y = 0$  [Tsai87]
    - koristiti više različitih pogleda [Zhang00]!
  - iz kataloških podataka kamere (širina vidnog polja) [Heikkila00]

# Odabir značajki mjernog uzorka

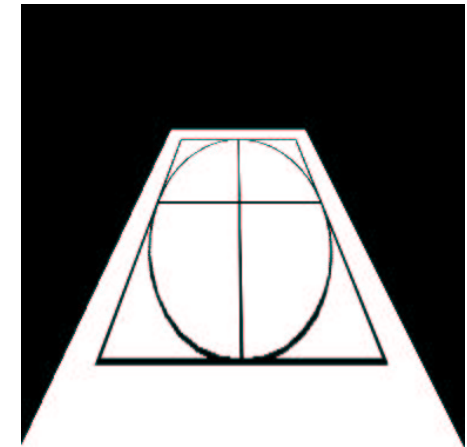
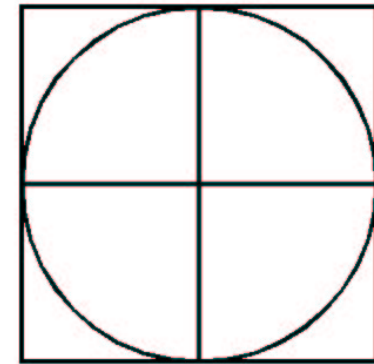
- Zahtjevi:
  - mala površina (u vidno polje treba smjestiti velik broj značajki)
  - robustnost na šum (značajka ne smije biti pre-lokalnog karaktera)
  - dobra lokalizacija (treba odrediti što točniji položaj značajke)

# Odabir značajki mjernog uzorka

- Zahtjevi:
  - mala površina (u vidno polje treba smjestiti velik broj značajki)
  - robustnost na šum (značajka ne smije biti pre-lokalnog karaktera)
  - dobra lokalizacija (treba odrediti što točniji položaj značajke)
- U literaturi se obično koriste cb slike krugova (težište) ili kvadrata (kutovi)
- Vrhovi kvadrata imaju slabiju robustnost, ali dobru lokalizaciju
- Težišta krugova robustnija, problematičan pomak uslijed homografije!

# Odabir značajki mjernog uzorka

- Zahtjevi:
  - mala površina (u vidno polje treba smjestiti velik broj značajki)
  - robustnost na šum (značajka ne smije biti pre-lokalnog karaktera)
  - dobra lokalizacija (treba odrediti što točniji položaj značajke)
- U literaturi se obično koriste cb slike krugova (težište) ili kvadrata (kutovi)
- Vrhovi kvadrata imaju slabiju robustnost, ali dobru lokalizaciju
- Težišta krugova robustnija, problematičan pomak uslijed homografije!





# Težišta krugova kao mjerne značajke (1)

- Neka je ravnina uzorka  $\Upsilon$  dana ishodištem  $\mathbf{u}_o$  te koordinatnim vektorima  $\mathbf{u}_x$  i  $\mathbf{u}_y$  (k.s. svijeta); tada

$\mathbf{Q}_R = \begin{bmatrix} Q_{Rx} & Q_{Ry} & 1 \end{bmatrix} \in \Upsilon \mapsto \mathbf{q} \in \pi$  po formuli:

$$\mathbf{q} = \mathbf{P} \cdot \begin{bmatrix} \mathbf{u}_x & \mathbf{u}_y & \mathbf{u}_o \\ 0 & 0 & 1 \end{bmatrix} \mathbf{Q}_R = \mathbf{P} \cdot \mathbf{U} \cdot \mathbf{Q}_R = \mathbf{H} \cdot \mathbf{Q}_R \quad (30)$$

- Ako  $\Upsilon$  odgovara  $X - Y$  ravnini k.s. svijeta:

$$\mathbf{U} = \begin{bmatrix} 1 & 0 & 0 \\ 0 & 1 & 0 \\ 0 & 0 & 0 \\ 0 & 0 & 1 \end{bmatrix}, \quad \mathbf{H} = \begin{bmatrix} \mathbf{P}_{:,1} & \mathbf{P}_{:,2} & \mathbf{P}_{:,4} \end{bmatrix} \quad (31)$$

# Težišta krugova kao mjerne značajke (2)

- Kružnica radijusa  $r$  u točki  $(Q_{Rcx}, Q_{Rcy}) \in \Upsilon$ :

$$\mathbf{Q}_R^T \begin{bmatrix} 1 & 0 & -Q_{Rcx} \\ 0 & 1 & -Q_{Rcy} \\ -Q_{Rcx} & -Q_{Rcy} & Q_{Rcx}^2 + Q_{Rcy}^2 + r^2 \end{bmatrix} \mathbf{Q}_R = \mathbf{0}, \quad (32)$$

ili, kraće,  $\mathbf{Q}_R^T \mathbf{C} \mathbf{Q}_R = \mathbf{0}$

- Za odgovarajuću kružnicu u slikovnoj ravnini vrijedi:

$$\mathbf{q}^T \cdot \mathbf{H}^{-T} \mathbf{C} \mathbf{H}^{-1} \cdot \mathbf{q} = \mathbf{q}^T \cdot \mathbf{S} \cdot \mathbf{q} = 0 \quad (33)$$

- Pokazuje se [Heikkila00] da je (33) elipsa sa težištem u:

$$\mathbf{q}_{te} = \dagger \mathbf{S}^{-1} \begin{bmatrix} 0 & 0 & 1 \end{bmatrix}^T = \mathbf{H} \mathbf{C}^{-1} \mathbf{H}_3^T, \quad (34)$$

# Težišta krugova kao mjerne značajke (3)

- Izmnožimo posljednja dva faktora jednadžbe (34):

$$\begin{aligned} \mathbf{q}_{te} &= \mathbf{H} \cdot \mathbf{C}^{-1} \mathbf{H}_{3,:}^T = \mathbf{H} \cdot \begin{bmatrix} Q_{Rcx} - \frac{H_{31} \cdot r^2}{\mathbf{H}_{3,:}^T \mathbf{Q}_{Rc}} \\ Q_{Rcy} - \frac{H_{32} \cdot r^2}{\mathbf{H}_{3,:}^T \mathbf{Q}_{Rc}} \\ 1 \end{bmatrix} \\ &= \mathbf{H} \cdot \mathbf{Q}_{Rc} - \mathbf{H} \cdot \varepsilon_H(\mathbf{H}, \mathbf{Q}_{Rc}, r) \end{aligned} \quad (35)$$

Vrijedi:  $r \rightarrow 0 \Rightarrow \varepsilon_H \rightarrow 0 \Rightarrow \mathbf{q}_{te} \rightarrow \mathbf{H} \cdot \mathbf{Q}_{Rc}$ !

- Jednadžba (35) određuje translacijsku korekciju  $\varepsilon_H$  na središta krugova ravnine uzorka, bez koje se u postupak umjeravanja unosi sistematska pogreška!
- Nažalost,  $\varepsilon_H$  ovisi o  $\mathbf{H} = \mathbf{P} \cdot \mathbf{U}$ , pa je korekciju moguće primijeniti samo prilikom nelinearne optimizacije

# Umjeravanje bez mjernog uzorka

- Metode poznate kao “samoumjeravanje” kamere (*engl.* self-calibration, auto-calibration)
- Nepomična scena, pokretna kamera: zaključuje se na temelju uparivanja točaka pojedinih slika sljeda
- Kretanje kamere može biti poznato ili **ne!**
- Intrinzični parametri konstantni ili **ne!**

# Ideja samoumjeravanja

- Neka je kretanje kamere nepoznato,  $K$  konstantna
- Generalizirani stereo problem: za svaki par slika, iz uparenih točaka (bar 8) se računa matrica  $F$ :

$$\forall i : (\mathbf{q}'_i \leftrightarrow \mathbf{q}_i) \Rightarrow \mathbf{q}'_i \mathbf{F} \mathbf{q}_i = 0 \quad (36)$$

- Dokaz prethodnog svojstva fundamentalne matrice izlazi iz **epipolarnog ograničenja**, uz poznatu geometriju, vrijedi ( $K' = K$ ):

$$\mathbf{F} = \mathbf{K}'^{-T} \cdot [\mathbf{t}_\times] \mathbf{R} \cdot \mathbf{K}^{-1} \quad (37)$$

- Fundamentalna matrica ima više stupnjeva slobode od Euklidskog pomaka, pa se uz više parova slika (bar 3) može izvući sustav (nelinearnih) jednažbi u  $K$ !

# Više pogleda na ravninski uzorak (1)

- Ideja: odrediti (linearne) parametre kamere na temelju više **homografija** iz ravnine uzorka u slikovnu ravninu!
- Neka je k.s. svijeta  $(O, X, Y, Z)$  orijentiran tako da je  $Z$  okomit na ravninu uzorka; tada vrijedi:

$$\mathbf{q} = \mathbf{KSM} \begin{bmatrix} X_Q \\ Y_Q \\ 0 \\ 1 \end{bmatrix} = \mathbf{K} \begin{bmatrix} \mathbf{R}_{:,1} & \mathbf{R}_{:,2} & \mathbf{t} \end{bmatrix} \begin{bmatrix} X_Q \\ Y_Q \\ 1 \end{bmatrix}^T \quad (38)$$

- Ili, kraće,

$$\mathbf{q} = \mathbf{H}\mathbf{Q}_R \quad (39)$$

# Više pogleda na ravninski uzorak (1)

- Plan:
  - homografija  $H$  ima 8 stupnjeva slobode
  - za svaki pogled, imamo samo 6 vanjskih parametara
  - iz svake homografije izvući  $8-6=2$  ograničenja na intrinzične parametre kamere!
- Tri homografije su dovoljne za rješenje matrice  $K$  (6 ograničenja za 5 parametara)!
- Dvije homografije su dovoljne ako se pretpostavi sa je parametar zakošenosti  $s_\theta = 0$
- Jednom homografijom možemo procijeniti linearno rješenje uz  $s_\theta = t_x = t_y = 0$  (velika odstupanja)
- U praksi, najbolji rezultati za više pogleda (npr. 10)

# Određivanje homografije

- Matricu  $H$  umjeravamo uz isti uvjet kao i  $P$  kod 3D mjernog uzorka:  $H \cdot Q_R = \lambda \cdot q \iff q \times H \cdot Q_R = 0$
- Dobivamo dvije nezavisne jednačbe  $\forall$  par točaka:

$$q \times (H Q_R) = \begin{bmatrix} \mathbf{0}_3^T & -Q_R^T & y_q Q_R^T \\ Q_R^T & \mathbf{0}_3^T & -x_q Q_R^T \\ -y_q Q_R^T & x_q Q_R^T & \mathbf{0}_3^T \end{bmatrix} \cdot \begin{bmatrix} H_{1,:}^T \\ H_{2,:}^T \\ H_{3,:}^T \end{bmatrix} = \mathbf{0}_9 \quad (40)$$

- Dobivamo sustav  $A_{2n \times 9} \cdot h_9 = 0_9$ : 4 točke dovoljne za jednoznačno rješenje (MKP), u praksi želimo više (100)
- Radi poboljšanja numeričke točnosti, točke slike i uzorka se prethodno mogu prevesti u “ravnomjerni” k.s.
- Rješenje se može poboljšati optimizacijom!



# Homografijska ograničenja na matricu $\mathbf{K}$ (1)

- Iz jednađbe (39), za svaku homografiju vrijedi:

$$\begin{aligned}\mathbf{H} &= \begin{bmatrix} \mathbf{h}_1 & \mathbf{h}_2 & \mathbf{h}_3 \end{bmatrix} = \lambda \mathbf{K} \begin{bmatrix} \mathbf{r}_1 & \mathbf{r}_2 & \mathbf{t} \end{bmatrix} \\ &= \begin{bmatrix} \lambda \mathbf{K} \mathbf{r}_1 & \lambda \mathbf{K} \mathbf{r}_2 & \lambda \mathbf{K} \mathbf{t} \end{bmatrix} \end{aligned} \quad (41)$$

odnosno,  $\mathbf{r}_i = \frac{1}{\lambda} \mathbf{K}^{-1} \mathbf{h}_i, i = 1, 2$

- Ograničenja slijede iz ortonormalnosti vektora  $\mathbf{r}_1$  i  $\mathbf{r}_2$ !

$$\begin{aligned}\mathbf{r}_1^T \mathbf{r}_2 = 0 &\equiv \mathbf{h}_1^T \mathbf{B} \mathbf{h}_2 = 0 \\ \mathbf{r}_1^T \mathbf{r}_1 = \mathbf{r}_2^T \mathbf{r}_2 &\equiv \mathbf{h}_1^T \mathbf{B} \mathbf{h}_1 = \mathbf{h}_2^T \mathbf{B} \mathbf{h}_2, \end{aligned} \quad (42)$$

gdje je  $\mathbf{B} = \lambda \mathbf{K}^{-T} \mathbf{K}^{-1}$ ;

vrijedi  $\mathbf{B}^T = \mathbf{B}$  i  $\lambda \mathbf{K}^{-1} = \text{chol}(\mathbf{B})$  !

# Homografska ograničenja na matricu K (2)

- Neka je:  $\mathbf{b} = \begin{bmatrix} \mathbf{B}_{11} & \mathbf{B}_{12} & \mathbf{B}_{13} & \mathbf{B}_{22} & \mathbf{B}_{23} & \mathbf{B}_{33} \end{bmatrix}^T$
- Vrijedi (pazi,  $\mathbf{h}_{ij} = \mathbf{H}_{ji}$ ):  
$$\mathbf{h}_i^T \mathbf{B} \mathbf{h}_j = \begin{bmatrix} \mathbf{h}_{i1} \mathbf{h}_{j1} & \mathbf{h}_{i1} \mathbf{h}_{j2} + \mathbf{h}_{i2} \mathbf{h}_{j1} & \mathbf{h}_{i1} \mathbf{h}_{j3} + \mathbf{h}_{i3} \mathbf{h}_{j1} & \mathbf{h}_{i2} \mathbf{h}_{j2} & \mathbf{h}_{i2} \mathbf{h}_{j3} + \mathbf{h}_{i3} \mathbf{h}_{j2} & \mathbf{h}_{i3} \mathbf{h}_{j3} \end{bmatrix}^T \mathbf{b} = \mathbf{v}_{ij} \mathbf{b}$$
- Tada se temeljna ograničenja (42) mogu zapisati kao dvije homogene linearne jednačbe u  $\mathbf{b}$ :

$$\begin{bmatrix} \mathbf{v}_{12}^T \\ (\mathbf{v}_{11} - \mathbf{v}_{22})^T \end{bmatrix} \mathbf{b} = \mathbf{0} \quad (43)$$

- Ako imamo  $n$  nezavisnih homografija, dobivamo sustav:

$$\mathbf{V}_{2n \times 6} \mathbf{b} = \mathbf{0}_6 \quad (44)$$

# Određivanje matrice $K$

- Iz sustava (44), da se odrediti simetrična matrica  $B$
- **Jedini mogući problem:** što ako (zbog šuma)  $B$  nije pozitivno definitna (što bi, po fizici stvari, trebala biti)?
- Tada možemo konstatirati da nema sreće: odabrani pogledi nisu dovoljno reprezentativni pa da informacija bude jača od šuma (ništa od linearne procjene  $K$ )
- Takav se problem može javiti ukoliko su:
  - pogledi na su ravnine međusobno paralelni,
  - upareno je malo točaka
  - uzorak je relativno daleko od kamere (zauzima relativno mali dio vidnog polja)
- Srećom, situacije u kojima se problem javlja su upravo suprotne scenariju za dobro umjeravanje kamere!

# Određivanje matrice $\mathbf{K}$

- Ako problema nema, dekompozicijom po Choleskom nalazimo  $\mathbf{K}^{-1} : \mathbf{B} = \lambda \mathbf{K}^{-T} \mathbf{K}^{-1}$
- Parametar  $\lambda$  je određen zahtjevom  $\mathbf{K}_{3,3}^{-1} = 1$
- Iz  $\mathbf{K}^{-1}$  računa se  $\mathbf{K}$  trivijalnim invertiranjem gornje trokutne matrice

# Određivanje položaja pojedinih ravnina

- Podsjetimo se,

$$\begin{aligned}\mathbf{H} &= \begin{bmatrix} \mathbf{h}_1 & \mathbf{h}_2 & \mathbf{h}_3 \end{bmatrix} = \lambda \mathbf{K} \begin{bmatrix} \mathbf{r}_1 & \mathbf{r}_2 & \mathbf{t} \end{bmatrix} \\ &= \begin{bmatrix} \lambda \mathbf{K} \mathbf{r}_1 & \lambda \mathbf{K} \mathbf{r}_2 & \lambda \mathbf{K} \mathbf{t} \end{bmatrix} \end{aligned} \quad (45)$$

odnosno,  $\mathbf{r}_i = \frac{1}{\lambda} \mathbf{K}^{-1} \mathbf{h}_i, i = 1, 2$

- Odatle,

$$\begin{aligned}\mathbf{r}_i &= 1/\lambda \mathbf{K}^{-1} \mathbf{h}_i, i = 1, 2 \\ \mathbf{r}_3 &= \mathbf{r}_1 \times \mathbf{r}_2 \\ \mathbf{t} &= 1/\lambda \mathbf{K}^{-1} \mathbf{h}_3 \\ \lambda &= \frac{1}{2} \sum_{i=1,2} \|\mathbf{K}^{-1} \mathbf{h}_i\| \end{aligned} \quad (46)$$

# Nelinearna optimizacija

- U postupak ulaze:
  - liste uparenih točaka  $\{\mathbf{Q}_{Rij}\}, \{\mathbf{q}_{ij}\}, i = 1..n_p, j = 1..n_{ti}$
  - parametri pomaka  $\{\mathbf{R}_i^\dagger\}, \{\mathbf{t}_i\}, i = 1..n_p$
  - intrinzični parametri:  $\mathbf{K}, (\mathbf{k}_1^{ud}, \mathbf{k}_2^{ud}), (\mathbf{k}_1^{du}, \mathbf{k}_2^{du}),$
- Minimizira se norma funkcije  $\text{fcn} : \mathbb{R}^{9+6n_p} \rightarrow \mathbb{R}^{4n_p\bar{n}_t}$

$$\text{fcn}(\{\mathbf{R}_i\}, \{\mathbf{t}_i\}, \mathbf{K}, \{\mathbf{k}_l^k\}) = \{\delta_{ij}^d, \delta_{ij}^u\}, i = 1..n_p, j = 1..n_{ti}$$

$$\delta_{ij}^d = (\mathbf{Kf}_{ud}(\mathbf{M}'_i \mathbf{Q}'_{Rij}) - \mathbf{q}_{ij})_{\mathbb{R}^2}$$

$$\delta_{ij}^u = (\mathbf{KM}'_i \mathbf{Q}'_{Rij} - \mathbf{Kf}_{du}(\mathbf{K}^{-1} \mathbf{q}_{ij}))_{\mathbb{R}^2}$$

$$\mathbf{M}'_i = \mathbf{S} \cdot \mathbf{M}_i^{1,2,4}$$

$$\mathbf{Q}'_{Rij} = \mathbf{Q}_{Rij} - \varepsilon_H(\mathbf{Q}_{Rij}, \mathbf{KM}'_i, r) \quad (47)$$

# Zaključak

- Optimizacijski postupak pronalazi optimalne vrijednosti unutrašnjih i vanjskih (za svaki pogled) parametara kamere:  $\mathbf{K}$ ,  $\{\mathbf{k}_l^k\}$ ,  $\{\mathbf{R}_i\}$ ,  $\{\mathbf{t}_i\}$
- $\delta_S = \|\text{fcn}()\|_2$  je dvosmjerna projekcijska pogreška uparenih točaka u svakom pogledu i obuhvaća:
  - korekciju točaka detektiranih u slikovnoj ravnini
  - izobličenje projiciranih točaka mjernog uzorka
- Kvaliteta rješenja može se **ocijeniti** analizom dobivene projekcijske pogreške:
  - prosječna kutna pogreška umjeravanja se može odrediti kao:  $\arctan\left(\frac{\bar{\delta}_S}{s_x}\right)$ ,  $\bar{\delta}_S = \frac{\delta_S}{\sqrt{2n}}$
  - najveća kutna pogreška može se odrediti analizom pojedinačnih odstupanja

# Rezultati

- Pronalaženje značajki mjernog uzorka
- Komentar kvalitete dobivene kalibracije
- Prikaz korekcije radijalne distorzije



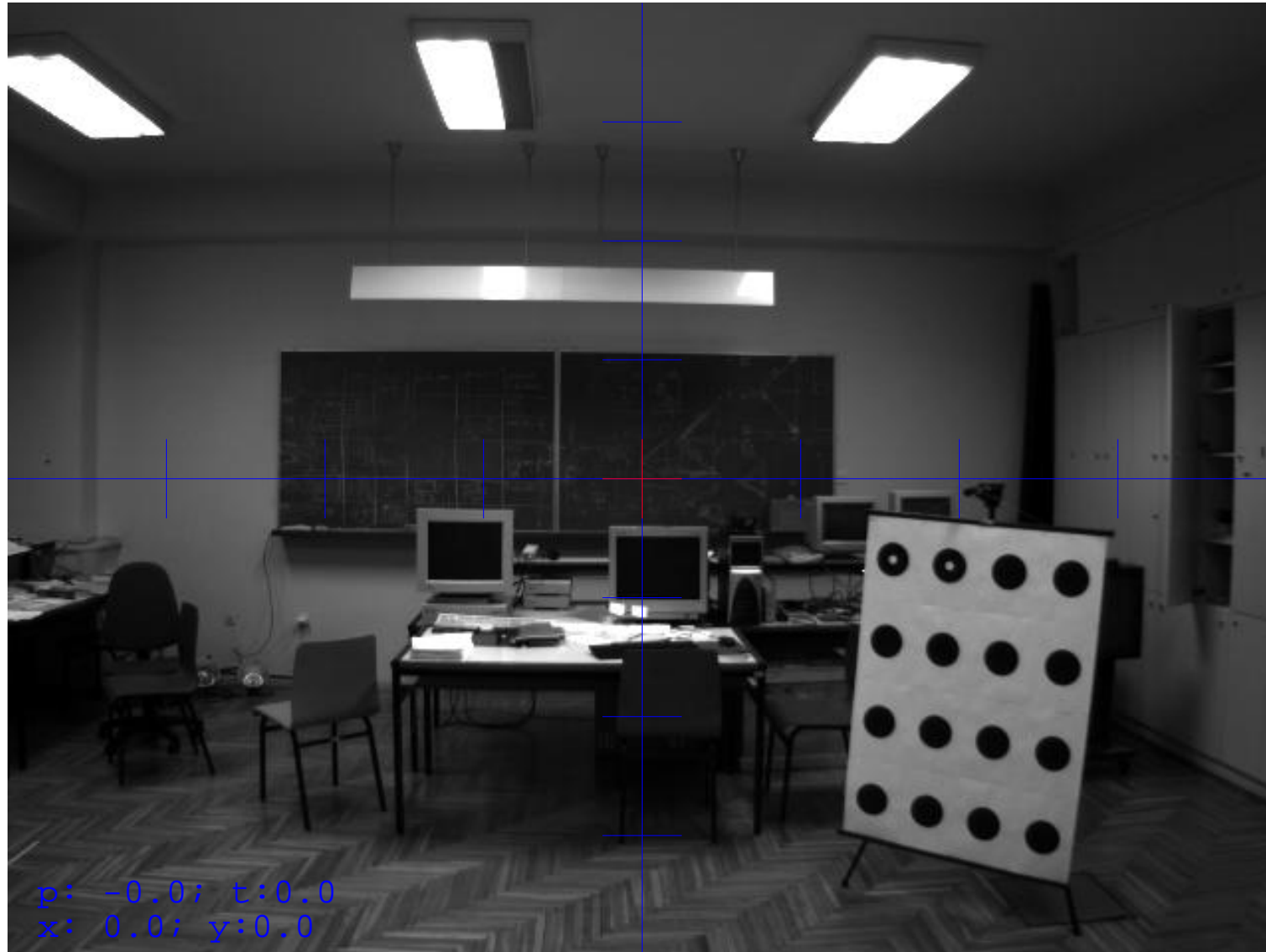
# Pronalaženje značajki mjernog uzorka (1)

- Cilj: upariti pronađene regije sa pojedinim značajkama mjernog objekta (krugovima)
- Uparivanje treba biti robustno kako bi se omogućilo nesmetano eksperimentiranje
- Mjerni uzorak: pravokutno polje crnih krugova na bijeloj pozadini
- Parametri uzorka: udaljenost redaka i stupaca, te radijus krugova u proizvoljnim jedinicama
- Obično najpraktičnije odabrati kvadratni uzorak
- Ideja: poslužiti se simetrijom mjernog uzorka kao kriterijem detekcije!

# Pronalaženje značajki mjernog uzorka (2)

- Umjeravanje intrinzičnih parametara:
  - lakši posao, uzorak **bi uvijek trebao** zauzimati velik dio vidnog polja
  - svejedno nam je koji će se krug iz uzorka proglasiti ishodištem k.s. uzorka (svijeta)
  - nije bitno znati sve parametre uzorka, dovoljan je omjer širine retka i širine stupca (jedinica vanjskih parametara tada je širina retka)
- Vanjski parametri:
  - teži posao, uzorak može biti relativno mali
  - potrebno specijalno označiti ishodišni krug: u izvedbi, taj se krug označava sa bijelim kružićem
  - potrebno je znati parametre uzorka u željenim jedinicama (npr, cm)

# Pronalaženje značajki - ulazna slika



# Pronalaženje značajki - rezultat



# Postupak pronalaženja:

- Slika se prvo binarizira sa pragom

$$th = v_{min} + c \cdot (v_{max} - v_{min}) \quad (48)$$

$v_{max}$  i  $v_{min}$  su ekstremne vrijednosti sive razine u slici, a  $c$  ovisi o dobu dana

- Izluče se povezane regije za čije piksele vrijedi  $v_p < th$  (tražimo crne krugove)
- Grupiranje se temelji na svojstvu da se svaki redak (stupac) može inkrementalno rekonstruirati, korak po korak!
- Razlog tome je relativna blizina susjednih elemenata, projekcija se lokalno može opisati kao afina transformacija!

# Grupiranje značajki

- Počevši od svake nakupine  $n_i$ , određuje se baza od 4 nakupine  $(n_i, n_j, n_k, n_l)$ :
  - $n_j$  - najbliža  $n_i$
  - $n_k$  - druga najbliža  $n_i$ , nije “kolinearna” sa  $n_i$
  - $n_l$  - treća najbliža  $n_i$ , nije “kolinearna” ni sa  $n_i$ , ni sa  $n_k$
- Počevši od baze, određuju se dva rubna retka, a od njih svi stupci hipotetskog uzorka
- Odabire se ona baza koja generira “matricu” sa najviše elemenata mjernog uzorka!
- Bitno: Margina uzorka mora biti dovoljno velika da kutni elementi ne ostvare bazu sa nakupinama iz pozadine

# Pronalaženje uzorka, završne napomene

- Ako je pronađeno ishodište, dodijeliti pojedinim elementima uzorka koordinate u skladu sa položajem u matrici koju definira odabrana baza
- Treba paziti da orijentacija sustava bude konzistentna sa orijentacijom koja se koristi u ostatku programskog sustava
- U izvedbi: odabire se uvijek “desni” k.s. uzorka

# Kvaliteta dobivene kalibracije

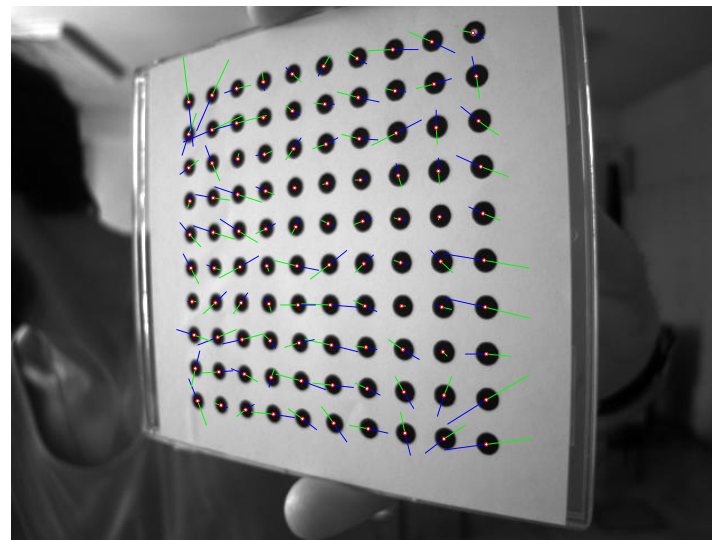
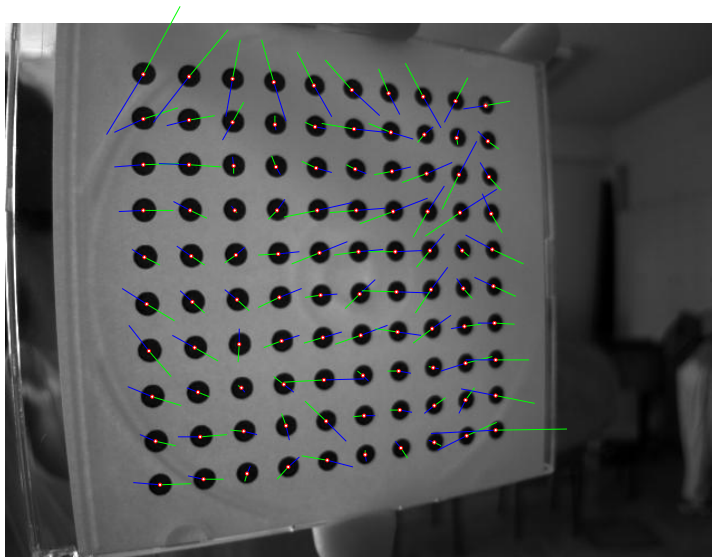
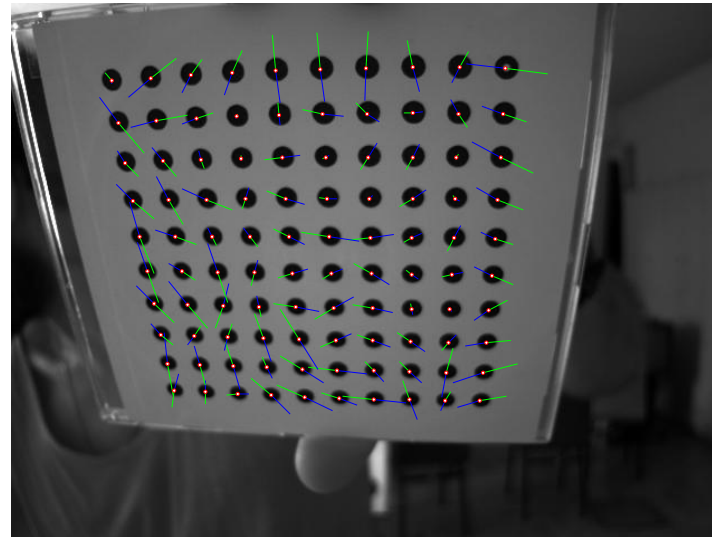
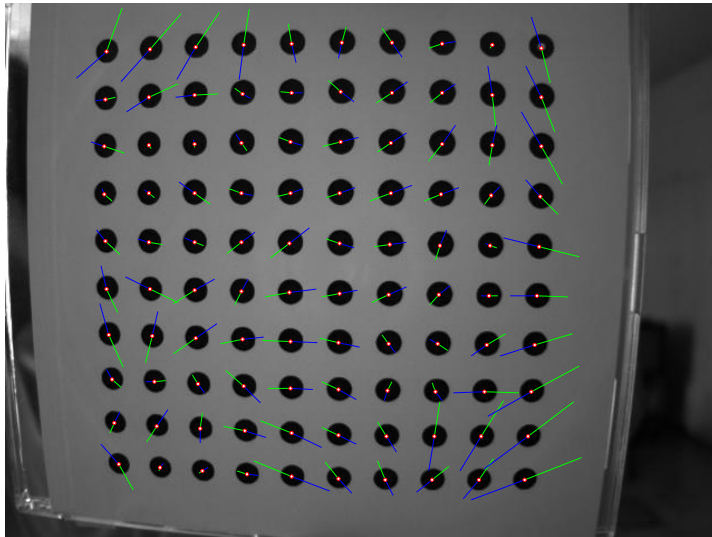
- Za najbolji skup od pet slika (500 korespondencija), dobiveni su sljedeći rezultati:
- Uz kompenzaciju radijalne distorzije:
  - $dev_{av} = 0.20 \text{ pixel} = 0.020^\circ$  (3.5 cm na 100 m)
  - $dev_{max} = 0.70 \text{ pixel} = 0.070^\circ$  (12 cm na 100 m)
- Bez kompenzacije radijalne distorzije za isti skup slika:
  - $dev_{av} = 2.3 \text{ pixel} = 0.6^\circ$  (40 cm na 100 m)
  - $dev_{max} = 7.2 \text{ pixel} = 2.15^\circ$  (1.3 m na 100 m)
- Kompenzacija homografijskog odstupanja središta kruga ne utječe na rezultat (**krugovi mali?**)
- Formalna analiza tolerancije, ovisnost o broju slika, tipu kamere, ... =?



# Ovisnost devijacije o mjernom uzorku

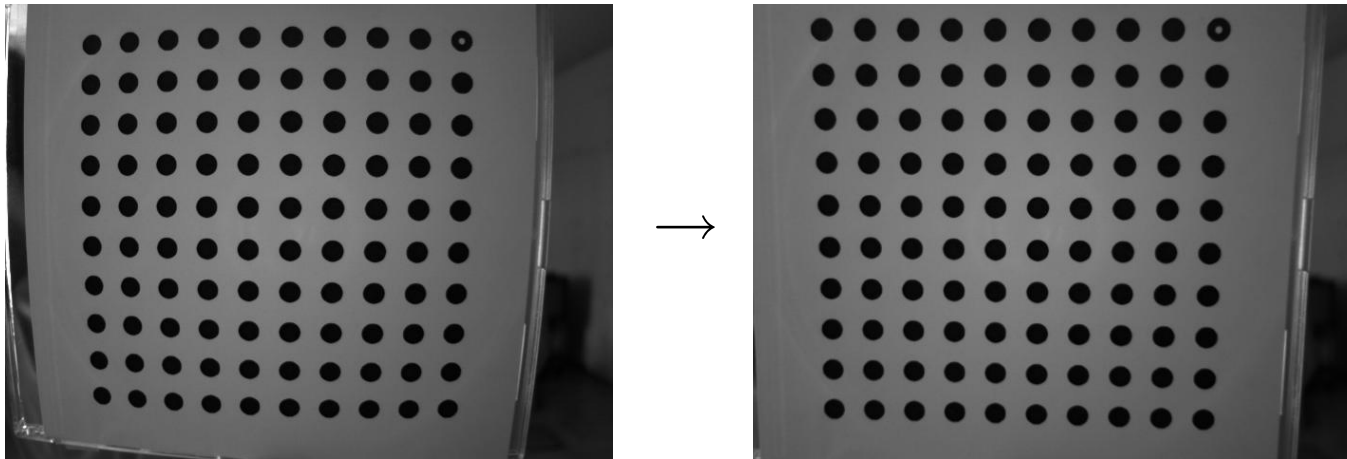
| uzorak | veličina | n  | dev <sub>av</sub> | dev <sub>max</sub> | $\theta_{\text{hfov}}$ |
|--------|----------|----|-------------------|--------------------|------------------------|
| A      | A4       | 4  | 0.64              | 1.67               | 64.01                  |
| B      | A4       | 5  | 0.34              | 0.98               | 63.58                  |
| C      | A5       | 5  | 0.20              | 0.69               | 63.47                  |
| A+B+C  | -        | 14 | 0.48              | 1.69               | 63.82                  |

# Ovisnost devijacije o položaju mjerne točke

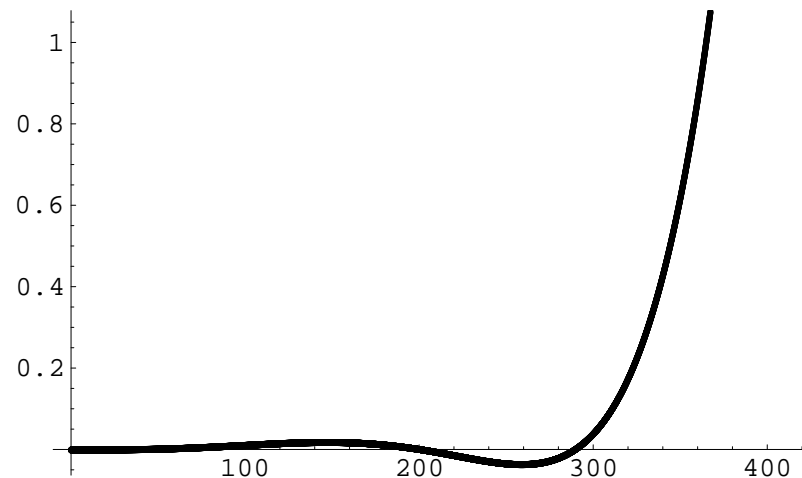


# Korekcija radijalne distorzije

- Korekcija radijalne distorzije:



- Preciznost parametara radijalne distorzije kao graf  $f_{\varepsilon} = r - f_{du}(f_{ud}(r))$ :



# Primjene

- Postupak umjeravanja omogućava korištenje kamere kao mjernog uređaja
- Brojne industrijske primjene:
  - kontrola aluminijskih i čeličnih proizvoda
  - izrada računalnih 3D modela ljudi, gradova, krajolika, arheoloških nalazišta
  - virtualna stvarnost
- Za kraj: neke elementarne posljedice izloženih formalizama

# Korekcija radijalne distorzije

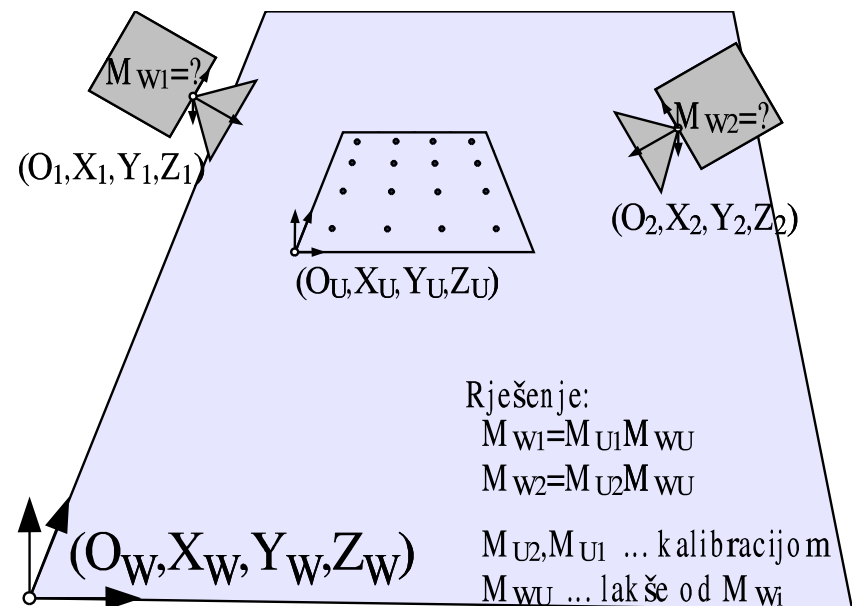
- Potrebno znati parametre kamere:  $\mathbf{K}$  i  $\{\mathbf{k}_l^k\}$
- Prvi scenario: korekcija čitave slike
  - elemente korigirane slike računamo bilinearnom transformacijom iz odgovarajuća ( $f^{ud}(q_u)=?$ ) četiri elementa izobličene slike
  - postupak traje  $\sim 100$  ms, za sliku  $640 \times 480 \times 1$ !
- Drugi scenario: korekcija pojedinih točaka
  - korigiramo samo neke elemente izobličene slike ( $f^{du}(q_d)=?$ ), npr. položaje detektiranih značajki
  - postupak je brz, ali nam ne može pomoći pri detekciji “velikih” značajki (npr, dugih bridova)!

# Određivanje položaja skupa kamera

- Neka je zadan distribuirani sustav sa više agenata promatrača opremljenih **kalibriranim** kamerama
- Promatrači analiziraju pribavljene slike te međusobno komuniciraju u cilju izgradnje zajedničkog prikaza scene
- Problem: odrediti transformacije iz k.s. svijeta u k.s. pojedinih promatrača  $M_{Wi}$ ,  
 $i = 1, 2, \dots, n_p$
- Rješenje bi trebalo biti: precizno, skalabilno, brzo provedivo, bez korištenja složene opreme

# Određivanje položaja skupa kamera

- Neka je zadan distribuirani sustav sa više agenata promatrača opremljenih **kalibriranim** kamerama
- Promatrači analiziraju pribavljene slike te međusobno komuniciraju u cilju izgradnje zajedničkog prikaza scene
- Problem: odrediti transformacije iz k.s. svijeta u k.s. pojedinih promatrača  $M_{W_i}$ ,  
 $i = 1, 2, \dots, n_p$
- Rješenje bi trebalo biti: precizno, skalabilno, brzo provedivo, bez korištenja složene opreme



# 3D položaj objekta na poznatoj ravnini

- Neka je ravnina  $\Upsilon$  dana ishodištem  $u_o$  te koordinatnim vektorima  $u_x$  i  $u_y$ ; tada  $Q_R \in \Upsilon \mapsto q \in \pi$  po formuli:

$$q = P \cdot \begin{bmatrix} u_x & u_y & u_o \\ 0 & 0 & 1 \end{bmatrix} Q_R = P \cdot U \cdot Q_R = H \cdot Q_R \quad (49)$$

- Ako  $H_{3 \times 3}$  nije singularna (tj, ravnina  $\Upsilon$  je vidljiva u slici), tada inverzno preslikavanje  $\Upsilon \rightarrow \pi$  postoji i dano je sa:

$$Q_R = H^{-1} \cdot q, \quad \forall q \in \pi \quad (50)$$

- Ako se  $\Upsilon$  poklapa sa ravninom  $X$ - $Y$  k.s. svijeta, vrijedi:

$$H = \begin{bmatrix} P_{:,1} & P_{:,2} & P_{:,4} \end{bmatrix} \quad (51)$$



# Geometrija upravljivog postolja

- Razmatra se upravljivo postolje sa dva rotacijska stupnja slobode  $\gamma_z$  (zakret) i  $\gamma_n$  (nagib)
- Tada je preslikavanje iz k.s. svijeta u k.s. kamere:

$$\mathbf{q} = \mathbf{KSM} \cdot \mathbf{Q} = \mathbf{KS}[\mathbf{M}_{RC}(\gamma_z, \gamma_n)\mathbf{M}_{WR}] \cdot \mathbf{Q} \quad (52)$$

- $\mathbf{M}_{WR}$  pomak iz k.s. svijeta u k.s. postolja (uvijek isti)
- $\mathbf{M}_{RC}$  pomak postolje  $\rightarrow$  kamera (ovisi o  $\gamma_z, \gamma_n$ )
- k.s. postolja i k.s. kamere se poklapaju za  $\gamma_z = \gamma_n = 0$ :  $\mathbf{M}_{RC}(0, 0) = \mathbf{I}$

- Idealno,  $\mathbf{M}_{RC} = \begin{bmatrix} \mathbf{R}_{RC} & \mathbf{0} \\ \mathbf{0}^T & 1 \end{bmatrix}$  čista rotacija, uz:

$$\mathbf{R}_{RC} = \mathbf{R}_z(0)\mathbf{R}_x(\gamma_n)\mathbf{R}_y(\gamma_z) \quad (53)$$

# Umjeravanje upravljivog postolja

- Ispravno bi bilo reći: “umjeravanje **para postolje-kamera**”, jer svako montiranje mijenja geometrijske odnose
- Kao i za kameru, i za postolje možemo reći da ima intrinzične  $\mathbf{M}_{RC}(\gamma_z, \gamma_n)$  i vanjske parametre  $\mathbf{M}_{WR}$ !
- Umjeravanje slijedi analogni tijek: prvo unutrašnji parametri, onda vanjski
- Ako imamo unutrašnje parametre, vanjske možemo dobiti iz kalibriranih vanjskih parametara kamere!

$$\begin{aligned}\mathbf{M} &= \mathbf{M}_{RC}(\gamma_z, \gamma_n)\mathbf{M}_{WR} \implies \\ \mathbf{M}_{WR} &= \mathbf{M}_{RC}(\gamma_z, \gamma_n)^{-1}\mathbf{M}\end{aligned}\quad (54)$$

- Ostaje problem umjeravanja unutrašnjih parametara!

# Unutrašnji parametri upravljivog postolja (1)

- Temeljni postupak:
  - postaviti kalibracijski uzorak tako da zauzima 1/4 vidnog polja kamere
  - kalibrirati **relativne pomake postolja** u okolini trenutnog položaja  $(\gamma_{z0}, \gamma_{n0})$  za sve  $(\Delta\gamma_z, \Delta\gamma_n)$  za koje je uzorak vidljiv
- Temeljni postupak ponoviti za “razne” položaje kalibracijskog uzorka, iz dobivenih podataka odrediti kalibraciju  $M_{RC}(\gamma_z, \gamma_n)$

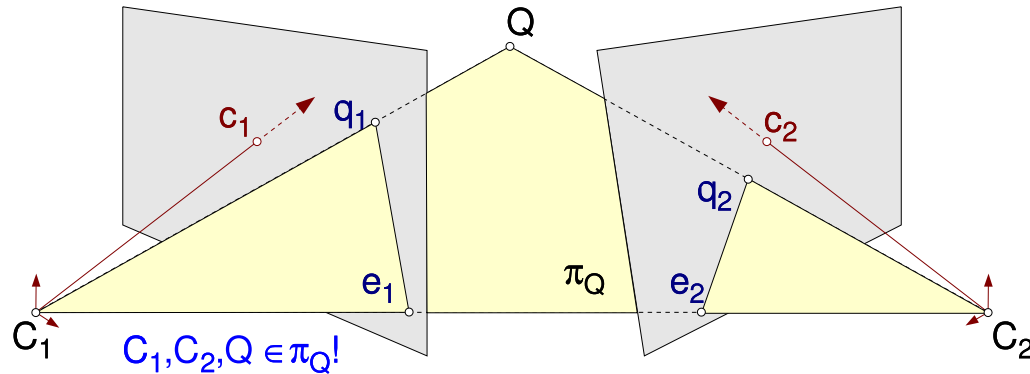
# Unutrašnji parametri upravljivog postolja (2)

- Izvedbeni pristup “gruba sila”:
  - temeljni postupak ponavljati tako da umjerene okoline prekriju ukupno radno područje postolja
  - naći  $M_{RC}(\gamma_z, \gamma_n)$  uz pretpostavku  $M_{RC}(0, 0) = I$
- Izvedbeni pristup “precizno postolje”:
  - pretpostavka:  $M_{RC}$  je umnožak
    - konstantne translacije (opis montiranja kamere)
    - idealne rotacije (postolje je jako precizno)

$$M_{RC}(\gamma_z, \gamma_n) = \begin{bmatrix} \mathbf{I} & \mathbf{t}_{RC} \\ \mathbf{0}^T & 1 \end{bmatrix} \begin{bmatrix} \mathbf{R}_{RC}(\gamma_z, \gamma_n) & \mathbf{0} \\ \mathbf{0}^T & 1 \end{bmatrix} \quad (55)$$

- temeljni postupak ponoviti za nekoliko pogleda, i riješiti  $\mathbf{t}_{RC}$  (MKP!) uz  $\mathbf{R}_{RC}(0, 0) = I$  i  $\mathbf{t}_{RC}(0, 0) = \mathbf{0}$

# Epipolarno ograničenje stereo vida



$$\mathbf{M}_1 = [\mathbf{I} | \mathbf{0}]$$

$$\mathbf{M}_2 = [\mathbf{R}_{12} | -\mathbf{R}_{12}\mathbf{t}_{12}] = [\mathbf{R}_{12} | \mathbf{t}_{21}]$$

pretpostavka:  $\mathbf{K}_1 = \mathbf{K}_2 = \mathbf{I}$   $\Rightarrow$

$$\mathbf{q}_1 \parallel \text{vec}(\mathbf{C}_1\mathbf{Q}), \mathbf{q}_2 \parallel \text{vec}(\mathbf{C}_2\mathbf{Q})!$$

$\mathbf{C}_1, \mathbf{C}_2, \mathbf{Q} \in \pi_Q \Rightarrow$

$$\mathbf{q}_1^T \cdot (\mathbf{t}_{21} \times \mathbf{R}_{12} \mathbf{q}_2) = 0 \Rightarrow$$

$$\mathbf{q}_1^T \cdot [\mathbf{t}_{21} \times \mathbf{R}_{12}] \mathbf{q}_2 = 0 \Rightarrow$$

$$\mathbf{q}_1^T \cdot \mathcal{E} \cdot \mathbf{q}_2 = 0!$$

$\mathbf{K}_1 \neq \mathbf{K}_2 \neq \mathbf{I} \Rightarrow$

$$\mathbf{q}_1^N = \mathbf{K}_1^{-1} \mathbf{q}_1, \mathbf{q}_2^N = \mathbf{K}_2^{-1} \mathbf{q}_2$$

$\mathbf{C}_1, \mathbf{C}_2, \mathbf{Q} \in \pi_Q \Rightarrow$

$$\mathbf{q}_1^T \cdot \mathcal{E} \cdot \mathbf{q}_2 = 0 \Rightarrow$$

$$\mathbf{q}_1^T \mathbf{K}_1^{-1} \cdot \mathcal{E} \cdot \mathbf{K}_2^{-1} \mathbf{q}_2 = 0 \Rightarrow$$

$$\mathbf{q}_1^T \cdot \mathcal{F} \cdot \mathbf{q}_2 = 0!$$

- Za svaku točku  $q_{10} \in S_1$ , odgovarajuće točke  $q_2 \in S_2$  leže na pravcu  $\hat{\mathbf{q}}_{10} \cdot \mathcal{E} \cdot \hat{\mathbf{q}}_2 = 0$ , odnosno  $\mathbf{q}_{10} \cdot \mathcal{F} \cdot \mathbf{q}_2 = 0$

$$\mathcal{E} = \begin{bmatrix} 0 & -t_z & t_y \\ t_z & 0 & -t_x \\ -t_y & t_x & 0 \end{bmatrix} \cdot \mathbf{R}_{12} = [\mathbf{t}_{12 \times}] \cdot \mathbf{R}_{12} \quad (56)$$

$$\mathcal{F} = \mathbf{K}_1^{-T} \cdot \mathcal{E} \cdot \mathbf{K}_2^{-1} \quad (57)$$

# Bibliografija

- [Tsai87] Roger Y. Tsai, A Versatile Camera Calibration Technique for High-Accuracy 3D Machine Vision Metrology Using Off-the-Shelf Cameras and Lenses, *IEEE Journal of Robotics and Automation*, 3(4):323–345, kolovoz 1987.
- [Fusiello00] Andrea Fusiello, Uncalibrated Euclidean reconstruction: a review, *Image and Vision Computing*, 18(6-7):555–563, svibanj 2000.
- [Heikkila00] Janne Heikkila, Geometric Camera Calibration Using Circular Control Points, *IEEE Transactions on Pattern recognition and Machine Intelligence*, 22(10):1066–1077, listopad 2000.
- [Zhang00] Zhengyou Zhang, A flexible New Technique for Camera Calibration, *IEEE Transactions on Pattern recognition and Machine Intelligence*, 22(11):1330–1334, studeni 2000.
- [Tamaki02] Toru Tamaki, Tsuyoshi Yamamura i Noboru Ohnishi, Unified Approach to Image Distortion, u *Proceedings of the International Conference on Pattern Recognition*, sv. 2, 584–589, Quebec, Canada, kolovoz 2002.
- [Spies03] Hagen Spies, Geometric Aspects of Computer Vision, 2003, PhD course.  
URL <http://www.isy.liu.se/~hspies/course/course.html>